УЛК 577.2

МОДУЛЬНЫЕ НАНОТРАНСПОРТЕРЫ, СПОСОБНЫЕ ВЫЗЫВАТЬ ВНУТРИКЛЕТОЧНУЮ ДЕГРАДАЦИЮ N-БЕЛКА ВИРУСА SARS-COV-2 В КЛЕТКАХ А549 С ВРЕМЕННОЙ ЭКСПРЕССИЕЙ ЭТОГО БЕЛКА, СЛИТОГО С ФЛУОРЕСЦЕНТНЫМ БЕЛКОМ *MRUBY3*

© 2024 г. Ю. В. Храмцов¹, А. В. Уласов¹, Т. Н. Лупанова¹, академик РАН Г. П. Георгиев¹, член-корреспондент РАН А. С. Соболев^{1,2,*}

Поступило 30.11.2023 г. После доработки 15.12.2023 г. Принято к публикации 18.12.2023 г.

Созданы модульные нанотранспортеры (МНТ), содержащие антителоподобную молекулу, монободи, к N-белку вируса SARS-CoV-2, а также аминокислотную последовательность, привлекающую E3-лигазу Keap1 (E3BP). В данный МНТ также был введен сайт отщепления E3BP-монободи от МНТ в кислых эндоцитозных компартментах. Показано, что данное отщепление эндосомной протеазой катепсином В приводит к увеличению сродства E3BP-монободи к N-белку в 2.7 раза. На клетках A549 с временной экспрессией N-белка, слитого с флуоресцентным белком mRuby3, было показано, что инкубация с МНТ приводит к достоверному уменьшению флуоресценции mRuby3. Предполагается, что разработанные МНТ могут служить основой для создания новых противовирусных препаратов против вируса SARS-CoV-2.

Ключевые слова: нуклеокапсидный белок, SARS-CoV-2, проточная цитофлуориметрия, термофорез, катепсин B, E3-лигаза, Keap1.

DOI: 10.31857/S2686738924020085, EDN: WFGUMP

ВВЕДЕНИЕ

Необходимость в разработке новых противовирусных препаратов особенно ярко продемонстрировала пандемия коронавируса SARS-CoV-2. Наиболее часто используются низкомолекулярные ингибиторы вирусной активности [1]. Однако их можно подобрать не ко всем белковым мишеням, в отличие от антителоподобных молекул, которые можно получить к практически любому белковому антигену [2, 3]. Не удивительно, что в различных системах доставки биоактивных молекул все чаше используются разные антителоподобные молекулы [4]. Для вируса SARS-CoV-2 в качестве белка-мишени можно выбрать крайне необходимый для сборки вирусного капсида нуклеокапсидный белок, или N-белок [5-7]. К этому белку высокое сродство имеет полученная ранее антителоподобная молекула, монободи (NC2) [8]. Ранее мы раз-

работали модульные нанотранспортеры (МНТ), содержащие в своем составе данное монободи и способные связываться в клетках-мишенях с N-белком [9], в настоящей работе обозначаемые как МНТ₀. Следующий вариант МНТ, МНТ₁, отличался от МНТ тем, что в него была дополнительно включена аминокислотная последовательность DPETGEYL (далее – E3BP), способная с высоким сродством связывать убиквитинлигазу Кеар1 [10]. Мы предположили, что связывание МНТ, одновременно с Кеар1 и N-белком будет приводить к деградации N-белка как следствие его убиквитинирования [11]. В состав МНТ, так же как и у МНТ₀, был внесен сайт для отщепления ЕЗВР-монободи от МНТ, в закисляемых эндоцитозных компартментах. Настоящая работа посвящена как изучению взаимодействия МНТ, и расщепленного МНТ, с N-белком в растворе, так и влиянию МНТ, на содержание N-белка в клетках А549, временно экспрессирующих этот белок.

Наработку и очистку N-белка и MHT_0 проводили, как это описано в [9]. Сайт-специфическим мутагенезом из MHT, описанного ранее [9], получили ген, кодирующий MHT следующего состава: affibody(EGFR)-HisTag-DTox-HMP-FKFL-E3BP-

¹ Институт биологии гена Российской академии наук, Москва

²Московский государственный университет им. М. В. Ломоносова

^{*}E-mail: alsobolev@vandex.ru

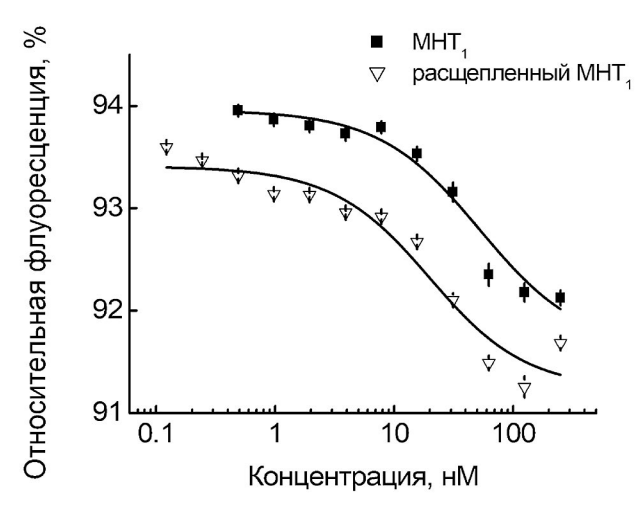


Рис. 1. Зависимости относительной интенсивности флуоресценции (за 100% принята интенсивность флуоресценции до начала термофореза) через 20 с после начала термофореза от концентрации МНТ₁ или расщепленного МНТ₁ при постоянной концентрации N-белка, меченного AF488 (5 нМ). Указана стандартная ошибка определения относительной интенсивности флуоресценции (14—17 повторов).

NC2, где affibody(EGFR) – аффибоди к рецептору эпидермального фактора роста, DTox – транслокашионный домен дифтерийного токсина. НМР – гемоглобиноподобный белок *E. coli*, FKFL – сайт расщепления эндосомной протеазой катепсином В, ЕЗВР – аминокислотная последовательность, привлекающая Е3-лигазу Кеар1 и NC2 — монободи к N-белку. Экспрессию МНТ, проводили в штамме E.coli Ros(DE3)pLysS. Автоиндукцию экспрессии МНТ, проводили инкубацией в течение 48 ч при 18 °C. МНТ, выделяли из растворимой фракции [12], а затем очищали аффинной хроматографией на носителе HisTrap FF (Cytiva). Денатурирующий электрофорез в полиакриламидном геле продемонстрировал достаточную степень чистоты полученного МНТ, (86.6%).

Для получения расщепленного МНТ, инкубировали 4 мкМ МНТ, с 4 мкг/мл активированного катепсина В (Native human Cathepsin B protein (аь90387, Аьсат)). Активацию катепсина В проводили, как описано в [14]. Расщепление МНТ, проводилось при рН 5.5 с добавлением 0.001% SDS, чтобы избежать агрегации МНТ₁. Взаимодействие МНТ, и расщепленного МНТ, с N-белком изучали так же, как описано в [13], методом термофореза на приборе Monolith NT.115 Series (NanoTemper Technologies GmbH, Германия) в буфере 10 мМ NaH₂PO₄, 150 мМ NaCl, pH 8.0. N-белок был помечен флуоресцентным красителем АF488, как это описано в [13] и с той же степенью модификации. Трансфекция клеток А549 плазмидой (3-4% трансфицированных клеток), кодирующей N-белок, слитый с флуоресцентным белком *mRuby3*, осуществлялась по [13].

При фиксированной концентрации N-белка, меченного АF488. (5 нМ) методом термофореза были получены зависимости относительной флуоресценции (за 100% принята флуоресценция до начала термофореза) через 20 с после начала термофореза от концентрации МНТ, (рис. 1, квадраты) или расщепленного МНТ, (см. рис. 1, полые треугольники). Для каждого эксперимента получали три-четыре такие зависимости, и весь эксперимент повторяли три-четыре раза. По каждой кривой определяли константу диссоциации комплекса МНТ, или расщепленного МНТ, с N-белком, ее усредняли по всем 12–17 кривым и определяли относительную ошибку ее измерения. Константы диссоциации комплексов МНТ, или расщепленного МНТ, с *N*-белком составили 47 ± 3 и 17 ± 4 нМ соответственно. Для расщепленного МНТ, это значение близко к константе для свободного монободи NC2 (6.7 нМ [8]). Таким образом, расшепление МНТ, катепсином В приводит к увеличению его сродства к N-белку приблизительно в три раза.

За процессом деградации слитого белка N-mRubv3 в клетках A549 с временной экспрессией данного белка наблюдали с использованием проточной цитофлуориметрии на приборе MACSOuant Analyzer (Miltenyi Biotec, Франция) в канале флуоресценции 571-601 нм, флуоресценцию возбуждали лазером с длиной волны 561 нм. Клетки с временной экспрессией белка N-mRuby3 инкубировали с 500 нМ МНТ, или МНТ, в течение заданного времени, отмывали, снимали с подложки и изучали в канале флуоресценции mRuby3 на проточном цитофлуориметре. На рис. 2 показана зависимость флуоресценции клеток А549 от времени инкубации с МНТ₁ или МНТ₀. На 5 часов средняя флуоресценция клеток А549 достоверно (p < 0.05, *U*-критерий Манна Уитни) ниже в случае, когда клетки инкубировали с МНТ, по сравнению с инкубацией с МНТ₀. Уменьшение флуоресценции *mRuby3* можно связать с деградацией слитого белка N-mRuby3. Полученные данные позволяют сделать вывод о том, что включение в разработанные нами МНТ аминокислотной последовательности, привлекающей Е3-лигазу Keap1, может приводить к деградации N-белка в клетках-мишенях.

Как мы показали ранее, отщепление монободи от МНТ $_0$ приводит к существенному уменьшению константы диссоциации комплекса N-белка с этим монободи (с 116 ± 20 до 10 ± 3 нМ) [9]. В настоящей работе заметное увеличение сродства наблюдается и для МНТ $_1$ (константа диссоциации уменьшается с 47 ± 3 до 17 ± 4 нМ). Иными словами, отщепленный

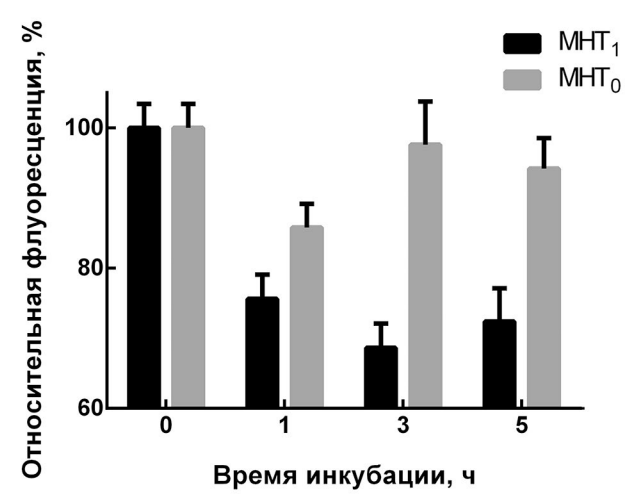


Рис. 2. Относительная флуоресценция клеток A549 (флуоресценция клеток, к которым не добавлялся МНТ была принята за 100%) при их инкубации различные времена с 500 нМ МНТ, или 500 нМ МНТ $_{0}$. Указаны средние значения с соответствующей среднеквадратичной ошибкой (n = 3-9).

фрагмент в клетке-мишени будет взаимодействовать с N-белком заметно лучше, чем полноразмерный МНТ. Известно, что конкурентное взаимодействие с N-белком потенциально способно нарушить весь процесс сборки новых вирусных частиц [15], а значит, подавить распространение вируса в организме. В настоящей работе на это воздействие на N-белок накладывается еще его вероятная деградация за счет привлечения к нему E3-лигазы, что, по нашему мнению, должно кардинально сказаться на сборке вирусного капсида.

Мы предполагаем, что разработанные МНТ могут послужить основой для создания новых противовирусных препаратов против вируса SARS-CoV-2. Причем примененный в данной работе подход в перспективе может оказаться эффективным против не только этого вируса, но и других вирусов.

ИСТОЧНИКИ ФИНАНСИРОВАНИЯ

Исследование выполнено за счет гранта Российского научного фонда (проект № 21-14-00130). Эксперименты были выполнены с использованием

оборудования Центра коллективного пользования ИБГ РАН.

СОБЛЮДЕНИЕ ЭТИЧЕСКИХ СТАНДАРТОВ

В данной работе отсутствуют исследования человека или животных.

КОНФЛИКТ ИНТЕРЕСОВ

Авторы заявляют об отсутствии конфликта интересов.

СПИСОК ЛИТЕРАТУРЫ

- Clercq E.D., Li G. // Clin Microbiol Rev. 2016. V. 29. P. 695–747.
- Gebauer M., Skerra A. // Annu Rev Pharmacol Toxicol. 2020. V. 60. P. 391-415.
- 3. *Shipunova V.O., Deyev S.M.* // Acta Naturae. 2022. V. 14. № 1(52). P. 54–72.
- 4. Tolmachev V.M., Chernov V.I., Deyev S.M. // Russ Chem Rev. 2022. V. 91. № 3. RCR5034
- Surjit M., Lal S.K. // Infect Genet Evol. 2008. V. 8. P. 397–405.
- 6. Wu C., Zheng M. // Preprints. 2020. 2020020247.
- Prajapat M., Sarma P., Shekhar N., et al. // Indian J Pharmacol. 2020. V. 52. P. 56.
- 8. *Du Y., Zhang T., Meng X., et al.* // Preprints. 2020. DOI: 10.21203/rs.3.rs-25828/v1.
- 9. Khramtsov Y.V., Ulasov A.V., Lupanova T.N., et al. // Dokl Biochem Biophys. 2023. V. 510. P. 87–90.
- Lu M., Liu T., Jiao Q. et al. // Eur J Med Chem. 2018.
 V. 146. P. 251–259.
- 11. Fulcher L.J., Hutchinson L.D., Macartney T.J., et al. // Open biology. 2017. V. 7. 170066.
- 12. Slastnikova T.A., Rosenkranz A.A., Khramtsov Y.V., et al. // Drug Des Devel Ther. 2017. V. 11. P. 1315–1334.
- 13. *Khramtsov Y.V., Ulasov A.V., Lupanova T.N., et al.* // Dokl Biochem Biophys. 2022. V. 506.
- 14. *Kern H.B.*, *Srinivasan S.*, *Convertine A.J.*, *et al.* // Mol Pharmaceutics. 2017. V. 14(5). P. 1450–1459.
- Wang S., Dai T., Qin Z., et al. // Nat. Cell Biol. 2021. V. 23. P. 718–732.

MODULAR NANOTRANSPORTERS CAPABLE OF CAUSE INTRACELLULAR DEGRADATION OF THE N-PROTEIN OF THE SARS-COV-2 VIRUS IN A549 CELLS WITH TEMPORARY EXPRESSION OF THIS PROTEIN FUSED WITH THE FLUORESCENT PROTEIN MRUBY3

Y. V. Khramtsov^a, A. V. Ulasov^a, T. N. Lupanova^a, Academician of the RAS G. P. Georgiev^a, Corresponding Member of the RAS A. S. Sobolev^{a, b, #}

^a Institute of Gene Biology, RAS, Moscow, Russian Federation ^b Lomonosov Moscow State University, Moscow, Russian Federation ^aE-mail: alsobolev@yandex.ru

Modular nanotransporters (MNTs) have been created containing an antibody-like molecule, monobody, to the N-protein of the SARS-CoV-2 virus, as well as an amino acid sequence that attracts the E3 ligase Keap1 (E3BP). This MNT also included a site for cleavage of the E3BP monobody from the MNT in acidic endocytic compartments. It was shown that this cleavage by the endosomal protease cathepsin B leads to a 2.7-fold increase in the affinity of the E3BP monobody for the N-protein. Using A549 cells with transient expression of the N-protein fused with the fluorescent protein mRuby3, it was shown that incubation with MNT leads to a significant decrease in mRuby3 fluorescence. It is assumed that the developed MNTs can serve as the basis for the creation of new antiviral drugs against the SARS-CoV-2 virus.

Keywords: nucleocapsid protein, SARS-CoV-2, flow cytometry, thermophoresis, cathepsin B, E3 ligase, Keap1.